

К ВОПРОСУ О ПЕРВОНАЧАЛЬНОМ СОДЕРЖАНИИ ГЕЛИЯ ПО НАБЛЮДЕНИЯМ РРЛ В ОРИОНЕ А

© 2023 г. А. П. Цивилев^{1,*}, В. В. Краснов¹

¹Физический институт им. П.Н. Лебедева РАН,
Пущинская радиоастрономическая обсерватория АКЦ ФИАН, Пущино, Россия

*E-mail: tsivilev@prao.ru

Поступила в редакцию 05.05.2022 г.

После доработки 12.07.2022 г.

Принята к публикации 18.07.2022 г.

Рекомбинационные радиолинии являются мощным инструментом для изучения межзвездной среды. Одной из важных задач является измерение первичного содержания гелия, образовавшегося во время первичного нуклеосинтеза Вселенной, что, в свою очередь, позволяет проверить выводы Стандартной космологической модели. Туманность Орион А является интересным объектом для изучения этой проблемы. Ранее нами было установлено, что в этой области НП зона ионизации гелия меньше зоны ионизации водорода. Следовательно, фактическое содержание гелия, $n(\text{He})/n(\text{H})$, не меньше максимального измеренного значения $y^+ = n(\text{He}^+)/n(\text{H}^+)$. Это позволяет получить ограничения на первичное содержание гелия. В этой статье представлены новые наблюдения рекомбинационных радиолиний в Орионе А на длине волн 13 мм. Установлено, что максимальное значение y^+ находится в диапазоне 10.03–11.55%. Следовательно, можно ожидать, что первичное содержание гелия (Y_p , отношение He/H по массе) может составлять не менее интервала значений ≈24.93–29.40%, что допускает отклонения от выводов Стандартной модели, например, допускает присутствие неизвестных легких частиц во время первичного нуклеосинтеза. Также были проведены наблюдения дважды ионизированного гелия в Орионе А и планетарной туманности NGC 7027. Получено, что вклад дважды ионизированного гелия, $y^{++} = n(\text{He}^{++})/n(\text{H}^+)$, составляет $< 7 \times 10^{-4}$ в Орионе А и 2.7(±1.3)% для NGC 7027. Также сделаны оценки электронной температуры. В частности, для NGC7027 получено $T_e \approx 11\,900\text{--}12\,300$ K, что выше, чем для областей НП.

Ключевые слова: космология – межзвездная среда, НП области – рекомбинационные радиолинии, Орион А и NGC7027

DOI: 10.31857/S000462992302007X, **EDN:** CKQUZP

1. ВВЕДЕНИЕ

Рекомбинационные радиолинии (РРЛ) водорода (H), гелия (He^4) и углерода (C) являются мощными инструментами для изучения межзвездного вещества (Сороченко и Гордон [1]). РРЛ позволяют оценивать физические параметры областей ионизированного водорода (НП областей), формирующихся вокруг молодых и горячих звезд, физические параметры фотодиссоциационных областей (ФДО), являющихся промежуточным слоем между НП областью и родительским молекулярным облаком (например, Сороченко и Цивилев [2]), а также эффективную температуру звезд, ионизующих НП области (например, Цивилев [3], Поляков и Цивилев [4]). Существует также важная космологическая задача для РРЛ – измерение первичного содержания гелия. Как показали в свое время Хойл и Тейлор (1964 [5]), около 90% наблюдаемого количества

гелия образовалось на докалактической фазе эволюции Вселенной и, скорее всего, на стадии первичного нуклеосинтеза (BBN). (Например, они показали, что ≈ 10% наблюдаемого количества гелия было достаточно для поддержания светимости нашей Галактики на протяжении всей ее жизни.)

В ходе первичного нуклеосинтеза (первые 2–3 мин после Большого Взрыва) в дополнение к He^4 (далее просто He) образуется несколько других легких ядер: дейтерий (D), гелий-3 (He^3), тритий (T) и литий (Li^7). Однако, если выход этих элементов зависит только от плотности барионов Вселенной, выход гелия в большей степени зависит от условий, когда соотношение нейтронов и протонов было закалено (Клапдор-Клайнгротхаус, Цюбер [6]) (в англоязычной литературе *freeze out*). Одним из таких условий является количество легких релятивистских частиц во время закалки (≈10–20 с после Большого Взрыва). Таким

образом, если перечисленные выше элементы являются показателями барийонной плотности Все-ленной, то первичное содержание гелия также является показателем наличия или отсутствия неизвестных легких частиц. Вклад известных легких частиц в рамках Стандартной космологической модели (СКМ) рассчитывается с большой точностью [6]. Имеющиеся данные о флуктуациях микроволнового фона позволяют с достаточной точностью оценить первичное содержание гелия (Y_p) в рамках СКМ. Например, Кок и Ваньони [7] получили отношение He/H по массе, $Y_p = 24.84 (\pm 0.02)\%$.

На данный момент СКМ предполагает наличие трех видов нейтрино. Однако, например, Янг и др. [8] показали, что присутствие дополнительного, четвертого нейтрино, приведет к $Y_p \geq 25.3\%$. Разница в значениях Y_p довольно заметна и может быть измерена. Таким образом, наличие неизвестных дополнительных легких релятивистских частиц может указывать на отклонение от СКМ, что проявится в измеренном превышении значения Y_p от ее предсказаний. Одним из наиболее надежных способов измерения Y_p является наблюдение рекомбинационных линий H и He , большинство которых были проведены в оптике и радиодиапазоне. Некоторые исследования (например, Изотов и др. [9]; Цивилев [10]; Цивилев и др. [11]) допускали возможность превышения стандартного значения Y_p . В последнее время (2020–2021 г., [12–15]) авторы на основе оптических и инфракрасных данных считают, что имеется хорошее согласие с выводами СКМ.

Тем не менее следует отметить, что физиками ведутся разговоры о возможном присутствии четвертого типа нейтрино (например, Серебров и др. [16]). Поэтому мы считаем, что и астрономам нужно ставить задачи на поиск следов отклонения от СКМ, в частности проводить поиск и оценку нижнего предела Y_p .

Радиоизмерений не так много, как оптических данных, однако они обладают рядом полезных свойств. Определение содержания гелия с помощью РРЛ не требует модельных расчетов коэффициентов заселения квантовых уровней атомов, поскольку гелий при высоких уровнях возбуждения (главное квантовое число $n \approx 50$ или более) является водородоподобной системой. Следовательно, коэффициенты заселения одинаковых уровней гелия и водорода одинаковы и сокращаются при расчете отношения He/H . В этом смысле радиоизмерения не зависят от модели, т.е. практически (за исключением учета поправки за ионизационную структуру) не зависят от конкретных физических параметров областей НП.

В рамках такой постановки задачи (поиск и оценка нижнего предела на Y_p) интересным ис-

точником оказывается область НП Орион А. В течение ряда лет мы интенсивно изучали эту хорошо известную туманность с помощью РРЛ H , He и C на длинах волн 8 и 13 мм и обнаружили, что зона ионизации He^+ меньше, чем H^+ . В этих условиях максимальное полученное значение $n(\text{He}^+)/n(\text{H}^+)$ будет являться нижним пределом на реальное содержание гелия ($n(\text{He})/n(\text{H})$) в Орионе, что позволяет уточнить и нижний предел значения Y_p . Подчеркнем, что поиск нижнего предела не требует знания поправки за ионизационную структуру, т.е. полностью модельно независим.

Основываясь на проведенных работах (Поппи и др. [17]; Цивилев и др. [18]), можно предположить, где находится область максимальных значений $n(\text{He}^+)/n(\text{H}^+)$. В этой статье мы провели дополнительные наблюдения РРЛ H и He в направлении ожидаемого максимума, чтобы уточнить максимальное значение $n(\text{He}^+)/n(\text{H}^+)$ в Орионе А и далее оценить нижний предел значения Y_p . Кроме того, мы провели наблюдения РРЛ дважды ионизированного гелия, чтобы оценить его вклад в оценку Y_p .

Работа состоит из 4 частей: введение, наблюдения, результаты и обсуждение, заключение.

2. НАБЛЮДЕНИЯ

Наблюдения РРЛ проводились с помощью радиотелескопа РТ22 (ПРАО АКЦ ФИАН). На рис. 1 показаны позиции в туманности Ориона А, в которых ранее наблюдалась РРЛ H , He и C на длинах волн 8 и 13 мм, и положение (большой круг, равный размеру диаграммы направленности РТ22 на 13 мм – $2.6'$), где выполнены наблюдения в этой работе. Дополнительные наблюдения также были проведены в позиции Ori N8, чтобы уточнить поведение физических параметров с удалением от центра в этом направлении. Наблюдения дважды ионизированного гелия были проведены в направлении центра туманности Орион А (звезда $\theta^1\text{C Ori}$). Для контроля также проводились наблюдения в направлении источника NGC7027, где дважды ионизированный гелий уже был зарегистрирован. Наблюдения РРЛ в переходе 65α были проведены в 2017–2019 гг., в переходе 66α – в 2019–2020 гг. Наблюдения дважды ионизированного гелия были сделаны в 2004–2006 гг.

Шумовая температура системы находилась в диапазоне 150–200 К. Использовался автокорреляционный спектрометр с 2048 спектральными каналами и общей частотной шириной 50 МГц. Наблюдения проводились методом ON-ON в режиме диаграммной модуляции (Сороченко и др. [21]) сканами продолжительностью 7–10 мин. Данные каждого скана калибровались в антеннной

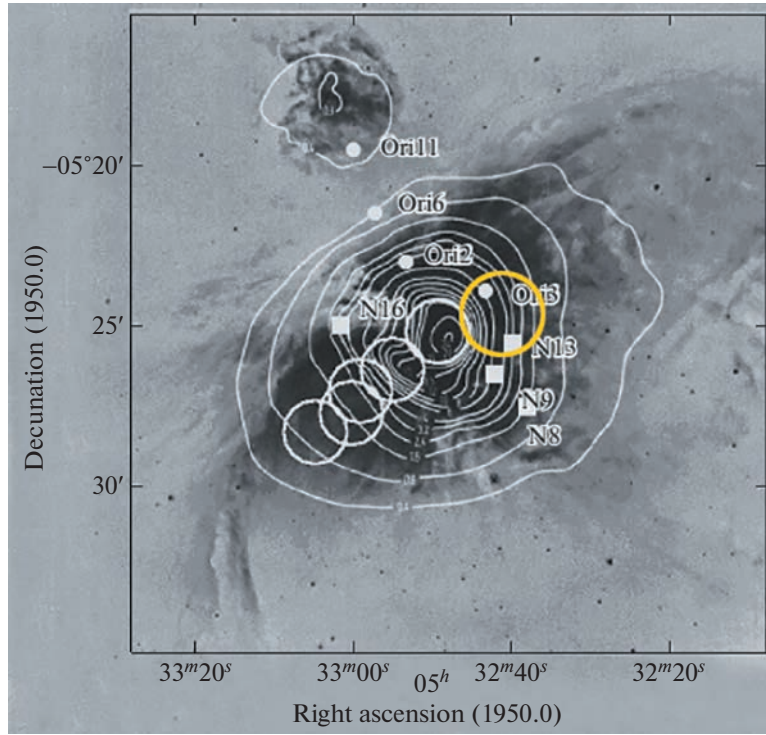


Рис. 1. Позиции, в которых проводились наблюдения РРЛ на 8 мм (большая и малая окружности) и 13 мм (квадраты), показаны на фоне оптической карты туманности Орион А (Н и Н II, Хуа и Луиза [19]); контурные линии – карта в континууме на частоте 23 ГГц (Вильсон и Паулс [20]). Большой желтый круг – позиция, в которой наблюдается максимальное относительное содержание гелия при 13 мм. Размер желтого круга соответствует размеру диаграммы направленности РТ22 на 13 мм, в то время как белый круг соответствует ее размеру на 8 мм.

температура и корректировались за атмосферное поглощение. Затем определялось среднее значение спектров за сеанс, а после этого – среднее значение между днями и сеансами, реализуя накопление сигнала за десятки часов (Цивилев [22]). Параметры спектральных линий определялись путем аппроксимации результирующих спектров (фиттинг) нелинейным методом наименьших квадратов (Смирнов и Цивилев [23]).

Важной проблемой являлось искажение нулевой линии спектрометра, возникающее из-за интерференции шумов, отражающихся между главным зеркалом и контроллером радиотелескопа. Искажение имеет квазисинусоидальную форму (Бахрах и др. [24]) с периодом, зависящим от расстояния между отражающими поверхностями (для РТ-22 период ≈ 15 МГц). Согласно нашему опыту, методом борьбы с этими искажениями (“паразитным” сигналом) является использование нескольких сеансов наблюдений продолжительностью около 10 дней в разные сезоны года. Из-за движения Земли по орбите вокруг Солнца частота спектральной линии изменяется, в то время как “паразитный” сигнал радиотелескопа остается неизменным. Во время наблюдений частота детектора настраивается таким образом, чтобы спектральная линия находи-

лась в одном и том же канале спектрометра. В результате “паразитный” сигнал нулевой линии смещается относительно исследуемой спектральной линии. При усреднении спектров разных дат “паразитный” сигнал суммируется с разными фазами вплоть до противофазы, что приводит к уменьшению его размаха. Остаточный “паразитный” сигнал компенсируется во время процедуры фиттинга путем введения синусоидальных членов в аппроксимирующую функцию для описания нулевой линии спектрограмм (Смирнов и Цивилев [23]; Цивилев [22]). Форма самих РРЛ описывается гауссовыми профилями (Сороченко и Гордон [1]).

В табл. 1 приведены данные наблюдений РРЛ: источник, название РРЛ, время накопления сигнала, контраст линия/континуум, параметры РРЛ: амплитуда линии в яркостных температурах (среднее по диаграмме), ширина линии при половинной интенсивности и ее лучевая скорость. Таблица 2 – сводная таблица значений $y^+ = n(\text{He}^+)/n(\text{H}^+)$ и T_e (электронная температура) для ряда позиций в Орионе А. Ошибки обеих таблиц (одно стандартное отклонение) указаны в круглых скобках.

Таблица 1. Параметры спектральных линий, полученных на РТ22

Источник	Линия	Время нак., час	$T_l/T_c, \%$	$T_l, \text{К}$	$\Delta V, \text{км/с}$	$V_{\text{LSR}}, \text{км/с}$
Ori N14b	H65α	93.9	23.8	0.574 (0.002)	25.64 (0.15)	-3.81 (0.32)
	He65α			0.0885 (.0022)	20.40 (0.80)	-2.8 (0.43)
	C65α			0.040 (.0045)	4.30 (0.55)	+9.3 (0.35)
	H93γ			0.069 (.0017)	27.08 (0.86)	-3.0 (0.37)
Ori N14b	H66α	62.4		0.534 (0.003)	26.18 (0.20)	-4.27 (0.33)
	He66α			0.070 (.004)	21.09 (1.89)	-4.3 (0.77)
	C66α			0.035 (.0096)	4.02 (1.40)	+9.4 (0.60)
Ori N8	H65α	80.9	20.5	0.284 (.0015)	28.9 (0.36)	-5.90 (0.37)
	He65α			0.0316 (.0018)	20.5 (1.94)	-5.97 (0.73)
	C65α			0.011 (.004)	3.22 (1.56)	+9.1 (0.68)
	H93γ			0.0376 (.0018)	34.9 (1.95)	-4.3 (0.43)
Ori A	He ⁺ 103α	137		$T_l < 0.005$		
	H109ε			0.093 (.0028)	26.1 (0.99)	-2.4 (0.34)
	NH3(main)			0.566 (.009)	4.4 (0.08)	+7.3 (0.3)
	-1			0.182 (.007)	18.7 (0.7)	/-3.2 (0.5)/
	-2			0.108 (.008)	3.0 (0.5)	/-17.6 (0.4)/
	-3			0.104 (.005)	8.9 (0.6)	/-26.2 (0.4)/
	+1			0.121 (.005)	9.6 (0.95)	/+14.8 (0.6)/
	+2			0.100 (.005)	7.8 (0.7)	/+25.9 (0.7)/
	He ⁺ 103α			0.011 (.0037)	18.3 (6.0)	+15.0(6)
	H65α			0.0326 (.0009)	56.5 (1.9)	+24.0(2)
NGC7027						

3. РЕЗУЛЬТАТЫ И ОБСУЖДЕНИЕ

3.1. Первоначальное изобилие гелия

3.1.1. Метод, наблюдения, исправления. На используемых радиочастотах (оптически тонкий случай и отсутствие штарковского уширения линий) относительное содержание гелия, $y = n(\text{He})/n(\text{H})$, рассчитывается как отношение интегралов РРЛ Не и Н с одинаковыми номерами перехода по следующей формуле:

$$y = \frac{T_l(\text{He})\Delta V(\text{He})}{T_l(\text{H})\Delta V(\text{H})}, \quad (1)$$

где T_l – амплитуда линии, ΔV – ширина линии на уровне половинной интенсивности в км/с. В действительности мы измеряем РРЛ ионизированного газа, т.е. соотношение ионизированных компонентов Не и Н. В областях НII измеренные ($y^+ = n(\text{He}^+)/n(\text{H}^+)$) и фактические ($y = n(\text{He})/n(\text{H})$) содержания гелия связаны структурным фактором R :

$$y^+ = Ry, \quad (2)$$

где R определяется ионизационной структурой, т.е. соотношением размеров и мер эмиссии зон

He^+ и H^+ . Относительное содержание гелия по массе (Y) выражается формулой

$$Y = \frac{4y(1-Z)}{1+4y}, \quad (3)$$

где Z – относительное массовое содержание элементов тяжелее гелия, часто называемое металличностью. Далее нужно учитывать вклад звезд в производство гелия. В случае с Орионом А (Цивилев [10]) первичное содержание гелия (Y_p) может быть определено по следующей формуле, использующей зависимость Y от Z как следствие вклада звездной эволюции в производство гелия:

$$Y_p = Y - \frac{dY}{dZ} Z. \quad (4)$$

В наших предыдущих работах (Поппи и др. [17]; Цивилев и др. [18]) было показано, что ионизационная структура в Орионе А имеет структуру типа ядро-гало, где зона He^+ меньше, чем зона H^+ , т.е. $R < 1$ в целом по туманности с разным значением для ядра и гало. Значение R меньше для ядра (область НII строго ограничена ионизацией) и больше для гало, где область НII частично ограничена ионизацией и частично по плотности. Поэтому полученное значение R может меняться

Таблица 2. Некоторые результаты для ряда позиций НП областей Орион А

Позиция	α_{1950} δ_{1950}	$n(\text{He}^+)/n(\text{H}^+)$, %	T_e , K	Примечания
Ori A	5 ^h 32 ^m 49 ^s -5°25'16"	8.3 (±.36)	8170 (±104)	[18], 56α
Ori Bar	5 ^h 32 ^m 55 ^s -5°26'30"	8.2 (±.55)	8380 (±200)	[18], 56α
Ori Bar-2	5 ^h 32 ^m 59 ^s -5°27'09"	7.3 (±.7)	7330 (±270)	[18], 56α
Ori Bar-3	5 ^h 33 ^m 00 ^s -5°27'50"	5.7 (±.66)	7000 (±260)	[18], 56α
Ori Bar-4	5 ^h 33 ^m 4.7 ^s -5°28'4.7"	4.8 (±.8)	6600 (±160)	[18], 56α
Ori 2	5 ^h 32 ^m 53.5 ^s -5°23'07"	9.1 (±.55) 9.5 (±1.3)	7340 (±130)	[18], 56α [17], 66α
Ori 3	5 ^h 32 ^m 43.5 ^s -5°23'28"	9.5 (±1.3) 9.1 (±1.4)	7420 (±110)	[18], 56α [17], 66α
Ori 6	5 ^h 32 ^m 56.7 ^s -5°21'30"	4.0 (±.8)	7420 (±500)	[18], 56α
Ori 4	5 ^h 32 ^m 44 ^s -5°26'05"	8.75 (±.88)		[17] av 56α, 66α
Ori 7	5 ^h 32 ^m 36.5 ^s -5°22'58"	7.3 (±1.5)		[17] av 56α, 66α
Ori N14b	5 ^h 32 ^m 41 ^s -5°24'11"	11.55 (±.52)	7630 (±160)	this paper av 65α, 66α
Ori N13	5 ^h 32 ^m 40 ^s -5°25'37"	9.5 (±.6)	7900 (±200)	Corrected [18], 65α
Ori N9	5 ^h 32 ^m 42 ^s -5°26'36"	8.4 (±.83)	7600 (±300)	[18], 65α
Ori N8	5 ^h 32 ^m 39 ^s -5°27'00"	7.66 (±.88)		this paper 65α
Ori N16	5 ^h 33 ^m 0.3 ^s -5°25'06"	6.1 (±.95)	8200 (±360)	[18], 65α

Примечание: av – среднее значение.

от места к месту и в разных направлениях (см. рис. 9 в [17]). Более того, R может быть ≤ 1 для положения максимума y^+ . При этом максимальное измеренное значение y^+ будет означать нижний предел фактического содержания гелия, $y = n(\text{He})/n(\text{H}) \geq y_{\max}^+$. Это открывает способ оценить нижнюю границу первичного содержания гелия (Y_p). Итак, задача состоит в том, чтобы найти y_{\max}^+ в Орионе А.

В нашей работе [17] было показано, что y^+ увеличивается с расстоянием от центра с максимальным значением на угловом расстоянии 2'-3', а затем уменьшается к краю туманности. Вероятная область максимума с $y^+ \approx 10\%$ находилась в северо-западной области в позициях Ori2 и Ori3 [17]. В последующих работах (Цивилев и др. [18, 25])

было обнаружено также высокое содержание гелия немного южнее, в позиции Ori N13 (рис. 1). Следовательно, наибольшее значение y^+ можно ожидать между позициями Ori3 и Ori N13. В этой работе мы выполнили наблюдения РРЛ (переход 65α) в этом направлении (большой желтый круг на рис. 1), обозначенном как Ori N14b.

Действительно, мы получили значение $y^+ \approx 12\%$, что выше ранее измеренных значений. Результат стабилен к небольшим вариациям нулевой линии спектрометра. Поскольку результат оказался необычно высоким, то в этом направлении были проведены дополнительные наблюдения РРЛ другого перехода – 66α. К сожалению, во время этих наблюдений оборудование работало хуже. В результате полученное значение y^+

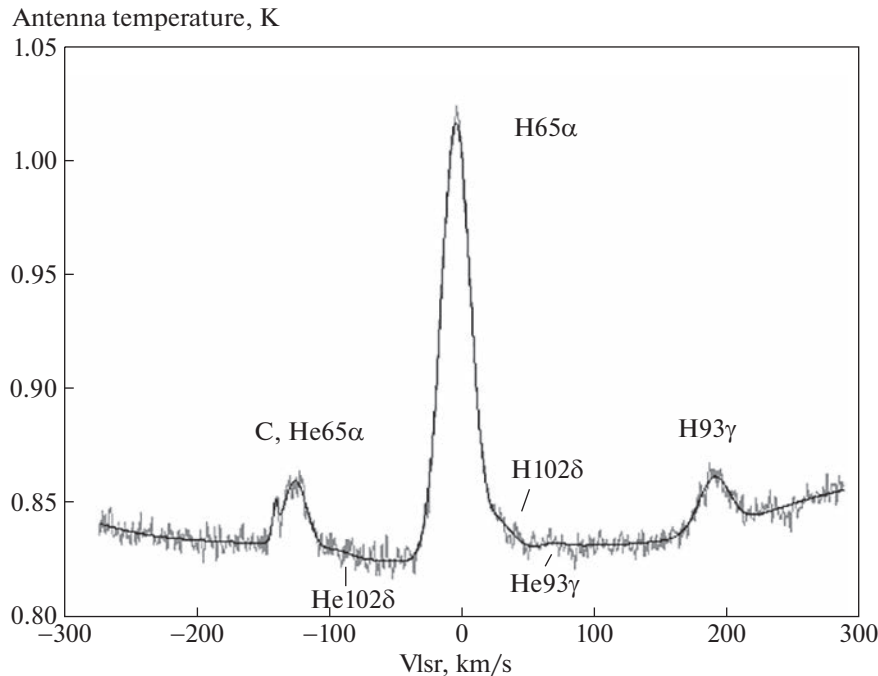


Рис. 2. Полученный на 13 мм спектр (переход 65α) в направлении максимума y^+ в Орионе А (позиция Ori N14b). Вертикальная ось представляет антеннную температуру в кельвинах, горизонтальная – лучевые скорости в км/с. Ноль соответствует нулевой скорости РРЛ Н. Серая линия – полученный спектр, а черная гладкая линия – вписанный спектр.

оказалось менее устойчиво к вариациям нулевой линии спектрометра, оно “плавало” в диапазоне 10–12% с наиболее вероятным значением $y^+ = 10.6 (\pm 1.13)\%$. В любом случае это не противоречит наличию повышенного содержания гелия в этом направлении. Полученные спектры показаны на рис. 2 и 3.

Однако было ясно, что для некоторых позиций необходимо внести коррекцию полученного значения y^+ . На 13 мм угловое расстояние между двумя диаграммами направленности РТ22 составляет $\approx 10'$. Когда одна диаграмма направленности находится в положении ON, другая может “задеть” край туманности. Предположим, что РРЛ водорода существует на краю туманности, в то время как РРЛ гелия – нет. Поскольку происходит вычитание сигнала между диаграммами, то амплитуда РРЛ Н будет уменьшена, а амплитуда РРЛ Не – нет. Далее, используя формулу (1), получим завышенное значение y^+ . Это важно, когда одна из диаграмм находится в положении ON (на источнике), а другая находится в положении OFF (вне источника) с востока. Во второй части цикла, когда положение OFF находится с запада, коррекция не требуется (см. рис. 1). Исправления сделаны на основе карты в континууме на частоте 23 ГГц (Вильсон и Паулс [20]). В любом случае это максимальная коррекция, поскольку предположение об отсутствии линии Не на краю туманности довольно сильное.

Приведем пример для позиции Ori N14b. Значение континуума, усредненного по диаграмме, составляет $T = 4.43$ К. В позиции OFF с востока можно ожидать значение континуума $T \approx 0.2$ К. Примем во внимание, что электронная температура (T_e) уменьшается к периферии туманности (Цивилев и др. [18]). В центральной части T_e составляет ≈ 8000 К, на периферии она может снижаться до 6600 К [18]. Используя измеренное T_e в позиции Ori N14b и предполагая отношение числа ионов гелия к числу ионов водорода, равное 0.11, можно ожидать, что отношение линия/континуум будет увеличено как $(7630/6600)^{1.15} \times (1 + 0.11)$ (Чайссон и Допита [26]), т.е. в 1.31 раза.

Таким образом, можно ожидать уменьшения амплитуды РРЛ Н как $(4.43 - 0.2 \times 1.31)/4.43$ по сравнению с амплитудой РРЛ Не, т.е. как 0.94086. Поскольку это уменьшение будет действовать только в половине цикла, то общее уменьшение РРЛ Н за цикл будет составлять $1/2 (1 + 0.94086) = 0.97043$. На этот коэффициент и необходимо скорректировать полученное значение $y^+ = 12.26 (\pm 0.59)\%$ в позиции Ori N14b. В результате получим $y^+ = 11.90 (\pm 0.59)\%$ для перехода 65α и $10.29 (\pm 1.13)\%$ для перехода 66α . Соответствующие исправления внесены для позиций OriN13 и OriN8. Скорректированные значения представлены в табл. 2. Средневзвешенное максимальное

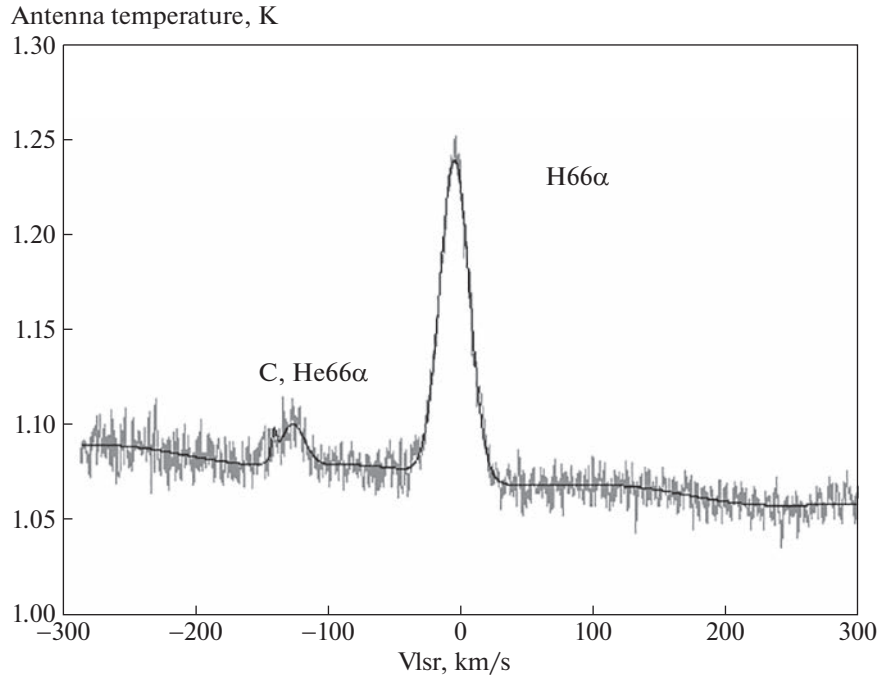


Рис. 3. Полученный спектр (переход 66 α) в направлении максимума y^+ в Орионе А (позиция Ori N14b). Обозначения те же, что и на рис. 2.

значение (позиция Ori N14b) для двух переходов (66 α и 65 α) составит $y^+ = 11.55 (\pm 0.52)\%$.

Как уже упоминалось, максимальное значение y^+ ожидается на угловом расстоянии 2'-3' от центра Ori A. Для анализа мы построили на рис. 4 зависимость измеренного значения y^+ от угла по окружности с радиусом 2' от центра. Сплошная линия соответствует фиттингу функцией Гаусса плюс многочлен 2-й степени. Для сравнения, мы сделали оценки ожидаемого максимума. Для этого был вписан многочлен 3-й степени без учета полученного максимального значения y^+ (позиция Ori N14b), предполагая формулу ожидаемого максимума типа "выпуклости". Ожидаемый максимум оказался $y^+ \approx 9.7\%$, т.е. ниже полученного. На рис. 5 показано распределение измеренного значения y^+ по скану с востока на запад, проходящему через максимум. Была вписана функция Гаусс плюс многочлен 2-й степени. Анализ этих рисунков указывает, что область максимальных значений y^+ расположена примерно в 80°–110° к западу от линии направления M42–M43, и на угловом расстоянии 1.8'-2.3' от центра Ориона А (звезда $\theta^1\text{C}\text{ Ori}$).

3.1.2. Расчеты Y_p и N_{eff} . Следующим шагом является вычисление первичного содержания гелия с использованием формул (3) и (4). Принимая $Z = 0.0112 (\pm 0.0022)$ (Болдуин и др. [27]) и $dY/dZ = 1.62 (\pm 0.29)$ (Изотов, Тuan [28]) и предполагая,

что $R = 1$ в положении максимального значения y^+ , мы получаем

$$Y_p = 29.40 (\pm 1.09\%).$$

На сегодня это "необычно" высокое значение. Вычтя 3σ , можно указать формально сильное ограничение нижнего предела:

$$Y_p > 26.16\%.$$

Далее мы можем оценить ограничение на существование неизвестных легких частиц во время первичного нуклеосинтеза (Цивилев [10]). Например, Пейджел [29] представил расчетный выход гелия при первичном нуклеосинтезе аналитической формулой. Предполагая время жизни свободных нейтронов близким к 887 с, затем объединяя первый член (постоянное значение) и последний член (зависимость от плотности барийонов) этой формулы как измеренное значение $Y_{p,o}$ в рамках СКМ, мы получим зависимость только от эффективного числа легких частиц типа нейтрино (N_{eff}):

$$Y_p = Y_{p,o} + 0.013(N_{\text{eff}} - 3). \quad (5)$$

Принимая значение $Y_{p,o}$, указанное во Введении $Y_{p,o} = 24.84\%$ [7], получаем:

$$N_{\text{eff}} = (Y_p - 24.84\%) / 1.3 + 3. \quad (6)$$

Далее, можно получить $N_{\text{eff}} = 6.5$ для основного значения Y_p и $N_{\text{eff}} > 4.0$ для нижней границы, что

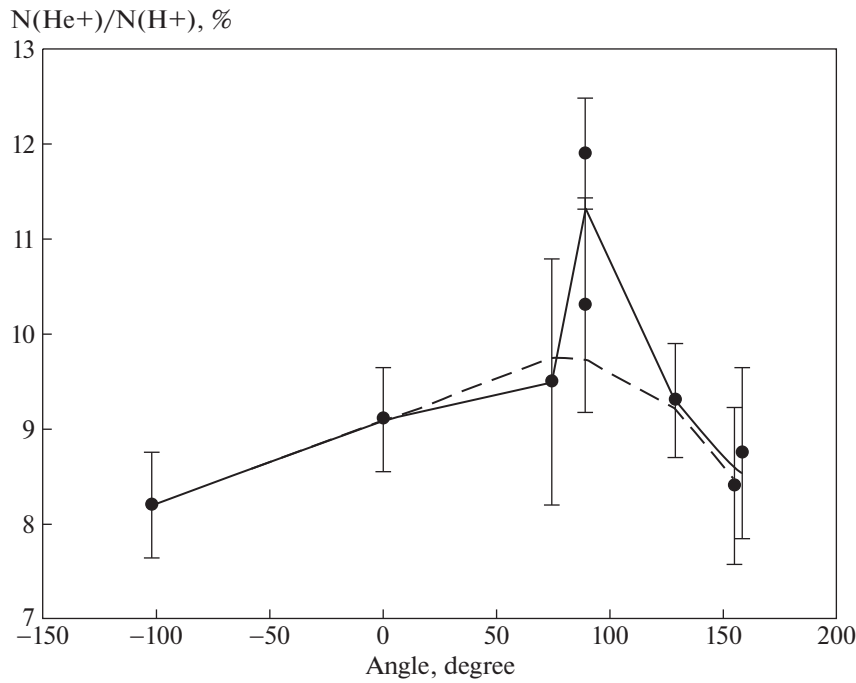


Рис. 4. Относительное содержание гелия, $y^+ = n(\text{He}^+)/n(\text{H}^+)$, в зависимости от угла по окружности на угловом расстоянии 2'-3' от центра Ориона А. Нулевое направление – линия M24-M43, отрицательные значения – на восток, положительные значения – на запад. Сплошная линия – фиттинг функцией Гаусса плюс полином 2-й степени. Штриховая линия показывает фиттинг полиномом 3-й степени без учета максимального значения (позиция Ori N14b). Значения y^+ взяты в следующих позициях: Ori Bar, Ori 2, Ori 3, Ori N14b (переходы 65α и 66α), Ori N13, Ori N9 и Ori 4 (см. табл. 2).

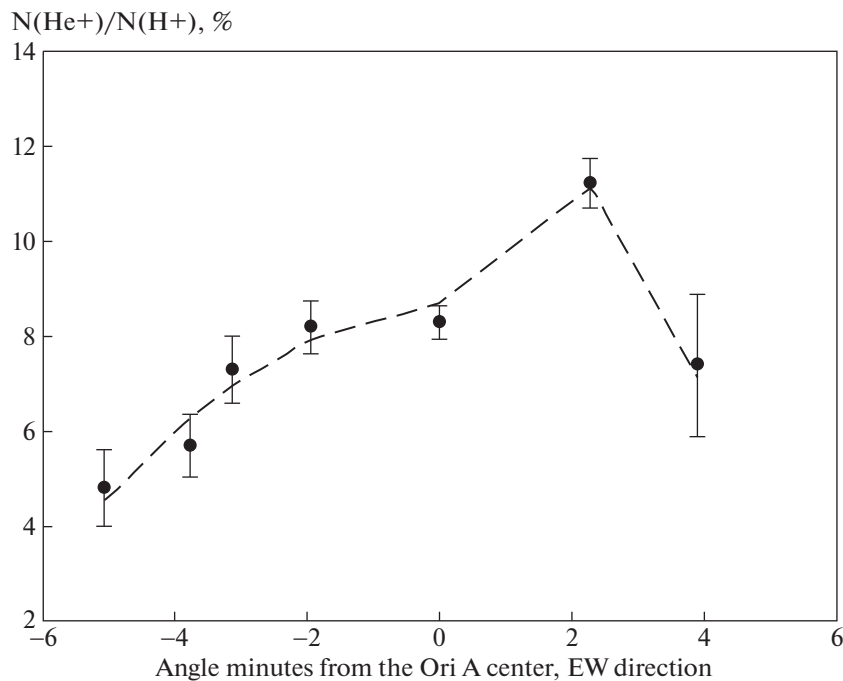


Рис. 5. Относительное содержание гелия y^+ в зависимости от углового расстояния (в минутах) от центра Ориона А вдоль линии восток-запад, проходящей через максимальное значение y^+ . Ломаная линия – фиттинг функцией Гаусса плюс полиномом 2-й степени. Приведены значения y^+ , полученные в позициях Ori Bar-4, Ori Bar-3, Ori Bar-2, Ori Bar, Ori A, Ori N14b и Ori7 (см. табл. 2).

превышает стандартное значение $N_{\text{eff}} = 3.0$ в соответствии с СКМ (Клапдор-Клайнгрохус, Цюбер [6]). Видно, что оценки зависят от принятого значения dY/dZ . Имеются работы, в которых считается, что значение dY/dZ может быть больше. Например, Кошмак, Мелех [30] получили $dY/dZ = 3.43 (\pm 0.77)$. Существуют оценки и в меньшую сторону, например $dY/dZ = 1.216 (\pm 0.849)$ (Верма и др. [31]). По нашему мнению [11], используемое здесь значение $dY/dZ = 1.62$ (Изотов и др. [28]) получено из большого объема данных, обладает наилучшей точностью и лучше соответствует теоретическим ожиданиям. Мы будем рассматривать это как основной параметр. Однако в качестве примера оценим Y_p для большего значения $dY/dZ = 3.43$:

$$Y_p = 27.4 (\pm 1.5\%).$$

Поскольку ошибка оказалась больше, для нахождения нижней границы возьмем менее сильное ограничение – минус одна сигма:

$$Y_p \geq 25.9\% \quad \text{и} \quad N_{\text{eff}} \geq 3.8.$$

Предположим, что мы все еще чего-то не учли. Тогда мы можем сделать “консервативную” оценку – рассчитать средневзвешенное значение для 4 точек, где наблюдается повышенное значение y^+ (Ori2, Ori3, Ori N13 и Ori N14b), что составляет 6 измерений (табл. 2). Получаем максимальное “консервативное” значение $y^+ = 10.028 (\pm 0.30)\%$. Откуда следует фактическое содержание гелия $y = n(\text{He})/n(\text{H}) \geq 10.028 (\pm 0.30)\%$, что приводит к “консервативному” пределу первичного содержания гелия:

$$Y_p \geq 26.49 (\pm 0.78\%).$$

Вычтя 2σ для оценки нижнего предела, получаем:

$$Y_p \geq 24.93\% \quad \text{и} \quad N_{\text{eff}} \geq 3.07.$$

Приведенные оценки указывают на возможность отклонения от стандартного значения Y_p и, как следствие, на возможность существования неизвестных легких частиц во время первичного нуклеосинтеза.

Если сравнивать с оптическими данными, то полученный интервал ($Y_p \geq 24.93 - 29.40\%$) свидетельствует в пользу результата Изотова и др. [9] с $Y_p = 25.5 (\pm 0.22)\%$. Заметим, что при крайних, пороговых значениях ($y = 10.03\%$ и $dY/dZ = 3.43$) получается значение $Y_p = 24.47\%$, что уже согласуется с самими последними данными [12–15].

3.1.3. Обсуждение реальности, возможные проблемы. Существуют ли какие-либо указания на возможность существования такого высокого значения Y_p ? Некоторые аргументы возможны, например, наличие “зеркального мира” (Окунь [32]). Согласно Блинникову и Хлопову [33], об-

щее число легких частиц, влияющих на скорость расширения Вселенной, в этом случае удвоится и первичное содержание гелия будет больше. Как уже говорилось, в настоящее время физиками ведутся разговоры о возможном присутствии четвертого типа нейтрино (например, Серебров и др. [16]).

Интересно отметить недавние измерения величины Y_p по линиям поглощения в межгалактическом газе в направлении далеких квазаров, в которых получено $Y_p = 25.0 (+3.7; -2.5)\%$ (Кук и Фумагалли [34]). В свое время было показано, что в межгалактическом газе содержится много ионизированного гелия (например, Якобсен и др. [35]). Хотя считается, что большая часть гелия в межгалактическом газе находится в однократно ионизированном состоянии, некоторое количество гелия может находиться в дважды ионизированном состоянии (например, Черман [36]). Поскольку авторы не учли вклад дважды ионизированного гелия, то полученное значение можно рассматривать как некоторый нижний предел, что также допускает возможность превышения Y_p над его стандартным значением.

Интересные результаты расчетов Y_p доступны в интернет-публикации <http://www.kaf07.mephi.ru/eduroom/DM/DM-L9.pdf>.

Рассмотрим возможные проблемы, которые могли повлиять на результат измерений. Во-первых, наши наблюдения проводились на достаточно оптимальных частотах (длина волн ≈ 1 см). В этом диапазоне оптическая толщина линий и континуума $\ll 1$ и, следовательно, связанные с ней эффекты незначительны. Штарковское уширение линий также невелико и начинает проявляться только при $n > 100$ (Сороченко, Гордон [1]). Во-вторых, для РРЛ при переходах с высокими квантовыми уровнями ($n > 30$) гелий можно считать водородоподобным атомом [1], т.е. коэффициенты, учитывающие отклонения населенности уровней от LTE (локальное термодинамическое равновесие), будут идентичны для идентичных переходов Н и Не. В недавней работе (Гонг и др. [37]) это утверждение было подтверждено экспериментально для трех десятков РРЛ в диапазоне главного квантового числа n от 64 до 100. Из этих же наблюдений следует, что возможный эффект отклонения от случая В из-за присутствия пыли в областях НII, который может по-разному влиять на заселенность уровней атомов Н и Не (Хаммер, Стори [38]), также ничтожно мал.

Наконец, возможно предположить, что в положении OFF для OriN14b (координаты $\alpha (1950) = 5^{\text{h}}33^{\text{m}}20^{\text{s}} (\pm 6^{\text{s}})$ или $5^{\text{h}}32^{\text{m}}00^{\text{s}} (\pm 6^{\text{s}})$ и $\delta(1950) = -5^{\circ}27' - 24'$) на луче зрения присутствует компактная область НII с плотностью потока ≈ 10 Ян, возбуждаемая слабой звездой ($R \ll 1$). Однако это

маловероятно, поскольку она была бы обнаружена в наблюдениях.

Наша цель состояла в том, чтобы найти положение максимума u^+ в Орионе А и уточнить его значение. Мы ожидали этого значения в диапазоне 9–10%, что согласовывалось бы с нашими предыдущими работами. Полученное значение ≈12% является довольно неожиданным. Понятно, что для такого результата желательно дальнейшее уточнение, и мы продолжим работать над этой задачей.

Что касается других наблюдений, имеющихся в литературе, можно отметить работу Пеймберт и др. [39], где авторы в РРЛ 53 α картировали семь позиций области в северо-западном направлении размером примерно $1' \times 1'$ и на среднем расстоянии около $1'$ от центра. (Наши позиции находятся примерно в $2'$ от центра). Во-первых, из-за недостаточного частотного разрешения реально они измеряли отношение $(\text{He} + \text{C})/\text{H}$. Во-вторых, можно было ожидать близких значений от рядом расположенных позиций, однако они получили разброс величины $(\text{He} + \text{C})/\text{H}$ от 6 до 12%. Это говорит о том, что измерения РРЛ Не довольно трудная задача. После учета вклада РРЛ С они получили средние значения $n(\text{He}^+)/n(\text{H}^+)$ по трем точкам (табл. 5 [39]) от 7 до 9%. После учета ионизационной структуры авторы получили для Ориона А = $9.9 (\pm 0.8)\%$.

В статье Чайссон и Допита [26] были проведены наблюдения в ряде позиций в оптике и РРЛ Н_{II}, Неббо. Их позиция 3 наиболее близка к нашей, где по РРЛ получено $n(\text{He}^+)/n(\text{H}^+) = 8 (\pm 3)\%$. По позициям имеется разброс от 8 до 12%. Получено среднее значение по 7 позициям $n(\text{He}^+)/n(\text{H}^+) = 10 (\pm 0.3)\%$.

В статье Пеймберт и Торрес-Пеймберт [40] проведены наблюдения в оптике в 12 позициях туманности Орион А. Позиция 1б наиболее близка к нашей, где получено $n(\text{He}^+)/n(\text{H}^+) = 8.4\%$. К сожалению, не указаны ошибки отдельных измерений. Ориентируясь, что среднее значение по 12 позициям (правда, с учетом правки за ионизационную структуру) $n(\text{He})/n(\text{H}) = 10.0 (\pm 0.5)\%$, то ошибку отдельных измерений можно ожидать ≈1.7%.

Гордон [41] пронаблюдал 5 позиций в РРЛ Н_{II}, Не 40 α : центральная и 4 сдвинутых на $1'$ по сторонам света. Однако он не привел величины $n(\text{He}^+)/n(\text{H}^+)$ по отдельным позициям, а привел среднее значение $n(\text{He}^+)/n(\text{H}^+) = 10 (\pm 2)\%$. Локман и Браун [42] в РРЛ Н_{II}, Не 76 α наблюдали 3 позиции: одна в центре и две в направлении на северо-восток вне центра. Для центра они получили величину $n(\text{He}^+)/n(\text{H}^+) = 8.2\%$, а вне центра ≈11%. К сожалению, авторы в статье никак не обсуждали и не комментировали полученный ре-

зультат. Одна из внешних позиций близка нашей Ori2 [18], другая близка к позиции 19 из работы Панконин и др. [43], где было сделано картирование туманности Орион А в РРЛ на частоте ≈5 ГГц. В позиции 19 авторы получили значение $n(\text{He}^+)/n(\text{H}^+) \approx 7.0\%$, что значительно меньше, чем у Локмана и Брауна [42]. Более того, Панконин и др. [43] нашли, что имеется уверенный спад величины u^+ от центра к периферии на восток и северо-восток, что хорошо согласуется и с нашими данными [18].

Итак, обзор литературы показывает, что максимальное значение величины $n(\text{He}^+)/n(\text{H}^+)$ вполне может быть ≈10%. Наши новые наблюдения предполагают большее значение данной величины.

3.2. Дважды ионизированный гелий

Известно, что для получения полного количества гелия необходимо знать вклад дважды ионизированного гелия, $u^{++} = n(\text{He}^{++})/n(\text{H}^+)$. Орион А возбуждается звездами, которые относительно не так горячие ($T_{\text{eff}} < 100000$ К), чтобы можно ожидать большого количества u^+ . Ранее для Ориона А был установлен верхний предел $u^{++} \approx < 10^{-4}$ по оптическим наблюдениям (Паймберт и Голдсмит [44]) и $< 3 \times 10^{-3}$ по РРЛ на частоте ≈5 ГГц (Палмер и др. [45]). В планетарных туманностях, которые возбуждаются более горячими звездами, чем области НII, дважды ионизированный гелий наблюдался. Например, в планетарной туманности NGC7027 содержание $u^{++} = 0.03 (\pm 0.01)$ было измерено по РРЛ (Волмсли и др. [46]). Поскольку эти наблюдения были сделаны давно, мы решили провести наблюдения РРЛ Не⁺103 α (23735.85 МГц) в Орионе А и *тестовые* в NGC7027. На рис. 6 и 7 показаны полученные спектры в этих источниках. Чтобы уменьшить дисперсию, спектр NGC7027 был сглажен по 16 спектральным каналам.

В Орионе А хорошо видны молекулярная линия NH₃ (2,2) (23722.61 МГц) и РРЛ H109 ϵ (23743.83 МГц), в то время как РРЛ Не⁺103 α не видна в излучении. Поскольку в том же спектре присутствует РРЛ водорода (H109 ϵ), можно оценить верхний предел u^{++} , взяв 3 сигмы вблизи РРЛ Не⁺103 α . Чтобы оценить соотношение двух РРЛ (1 и 2) разных переходов (n_1, n_2), преобразуем формулу 2.102 из книги Сороченко и Гордона [1] и получим следующее выражение:

$$\frac{(T_l \Delta V)_1}{(T_l \Delta V)_2} = \left(\frac{n_1}{n_2} \right)^3 \times \times \frac{M_{\Delta,1} (1 + 1.5 \Delta n_1 / n_1)}{M_{\Delta,2} (1 + 1.5 \Delta n_2 / n_2)} \frac{n(X_1)}{n(X_2)}, \quad (7)$$

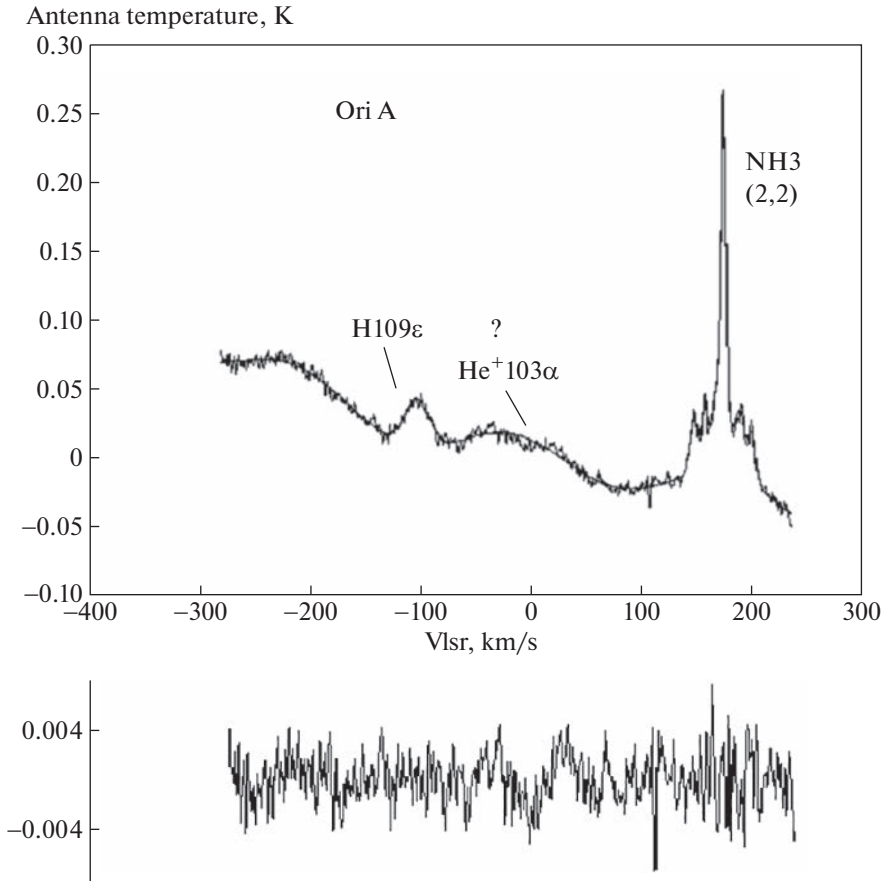


Рис. 6. Полученный спектр в направлении центра Ориона А в поисках дважды ионизированного гелия. Вертикальная ось – антenna температура в кельвинах, горизонтальная – лучевые скорости в км/с. Ноль соответствует нулевой скорости для гелия. Серая линия – полученный спектр, черная гладкая линия – вписанный спектр. Нижняя панель показывает разницу между полученным и вписанным спектром.

где $M_{\Delta n} = 0.1908, 0.0263, 0.0081, 0.0035, 0.0018$ для переходов $\Delta n = 1(\alpha), \Delta n = 2(\beta), \Delta n = 3(\gamma), \Delta n = 4(\delta), \Delta n = 5(\epsilon)$ соответственно; $n(X_1)/n(X_2)$ – отношение их концентраций; ΔV выражена в км/с. Затем, используя верхний предел РРЛ $\text{He}^+103\alpha$ и параметры $\text{H}109\epsilon$ (табл. 1), получаем для Ориона А $n(\text{He}^{++})/n(\text{H}^+) < 6.9 \times 10^{-4}$. Это почти на порядок лучше, чем ранее было определено по РРЛ [45], к тому же получено на более высокой частоте. В любом случае это подтверждает ранее полученный результат, что в Орионе А вклад дважды ионизированного гелия ничтожен.

Однако можно заметить, что на рис. 6 РРЛ $\text{He}^+103\alpha$ скорее видна в поглощении. Это особенно заметно на нижней панели рисунка (разность между полученным и вписанным спектром). Интересно отметить, что это согласуется с оптическими данными, где линия He^{++} видна в поглощении [44]. Если предположить, что линия находится в поглощении, то ее параметры могут быть такими: $T_i = -0.024 (\pm 0.003)$ К, $\Delta V = 26.9 (\pm 3.9)$ км/с и $V_{\text{LSR}} = -0.7 (\pm 1.3)$ км/с.

Что касается NGC7027, мы также провели наблюдения РРЛ $\text{H}65\alpha$ (табл. 1). Используя формулу (7) и полученные параметры линий $\text{H}65\alpha$ и $\text{He}^+103\alpha$ (табл. 1), получим $y^{++} \approx 2.8 (\pm 1.3)\%$, что вполне согласуется с имеющимися оценками (Чайссон и Малкан [47]; Волмсли и др. [46]).

3.3. Некоторые другие результаты

Ранее для позиции Ori N8 было неясно, имелось ли уменьшение значения y^+ в этом направлении от центра или увеличение (Цивилев и др. [18]). То есть возникает вопрос, а не существует ли другой локальный максимум значения y^+ ? В этой статье оценка величины y^+ была улучшена, которая ясно показала, что y^+ уменьшается от центра в этом направлении. (Получено $y^+ = 7.9 (\pm 0.88)\%$, после коррекции – $y^+ = 7.66 (\pm 0.88)\%$). Итак, локального максимума тут нет.

В табл. 2 для ряда позиций приведены электронные температуры, полученные с учетом отклонения от локального термодинамического

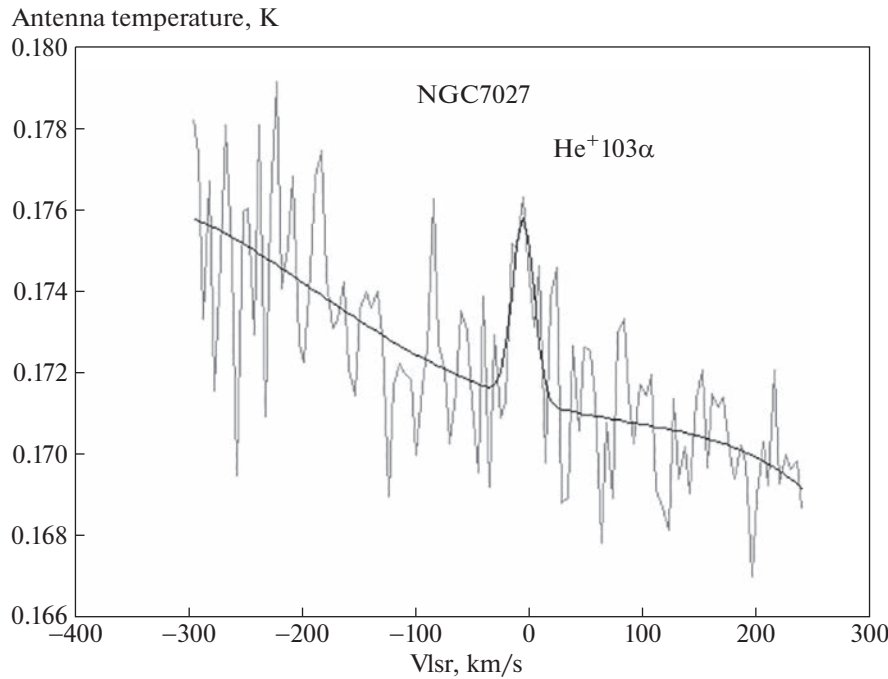


Рис. 7. Полученный спектр дважды ионизированного гелия в направлении планетарной туманности NGC7027. По вертикальной оси – антенная температура в кельвинах, по горизонтальной – лучевые скорости в км/с. Ноль соответствует $V_{\text{LSR}} = 20$ км/с. Серая линия – полученный спектр, а черная гладкая линия – вписанный спектр.

равновесия. Большинство значений было получено в работе [18]. В этой статье T_e определена для новой позиции (Ori N14b) в соответствии со схемой, описанной в работе [18]. Полученное значение явно ниже, чем T_e в центре туманности (Ori A). Для позиции Ori N13 произведена коррекция раннее полученных значений y^+ и T_e , которые стали немного меньше предыдущих [18]. Таким образом, новые данные дополнительно подтверждают вывод об уменьшении T_e от центра туманности к периферии [18].

Для NGC7027, используя полученные параметры РРЛ H65 α и контраст (отношение линия/континуум, табл. 1), можно оценить электронную температуру [18]. Получим $T_e(\text{LTE}) = 12490 (\pm 2290)$ К в случае локального термодинамического равновесия. Если мы возьмем электронную плотность $\approx 10^4$ см $^{-3}$, характерную для центральной части Ориона А (Смирнов и др. [48]), то реальная электронная температура составит $T_e \approx 11900$ К. Имеется работа (Ершов и Берулис [49]), где считается, что электронная плотность может быть выше до $\approx 6.7 \times 10^4$ см $^{-3}$, тогда T_e будет ≈ 12300 К. В пределах погрешности полученные значения T_e согласуются с другими оценками [46, 47, 49]. В этой планетарной туманности T_e заметно выше, чем в областях НП. Возможно, это имеет место и для других планетарных туманностей [46].

4. ЗАКЛЮЧЕНИЕ

1. В области НП Орион А были проведены наблюдения РРЛ Н, Не и С (65 α и 66 α) в направлении ожидаемого максимального значения $y^+ = n(\text{He}^+)/n(\text{H}^+)$. Получены следующие значения: $y^+ = 11.90 (\pm 0.59)\%$ для перехода 65 α и $10.29 (\pm 1.13)\%$ для перехода 66 α со средневзвешенным значением $y^+ = 11.55 (\pm 0.52)\%$. Анализ данных показывает, что область вероятного максимума y^+ находится в направлении примерно 80–110° к западу от линии М42–М43 и на угловом расстоянии 1.8°–2.3° от центра туманности (звезды θ¹C Ori). Возможное первичное содержание гелия оценивается в диапазоне от $Y_p = 29.40 (\pm 1.09)\%$ до $27.4 (\pm 1.5)\%$ с нижней границей $Y_p > 26.16\%$ и $Y_p \geq 25.9\%$ соответственно. Отсюда следует возможное ограничение на присутствие легких частиц типа нейтрино при первичном нуклеосинтезе: $N_{\text{eff}} > 4.0$ и $N_{\text{eff}} \geq 3.8$.

Была сделана “консервативная оценка” максимального содержания гелия в Орионе А как средневзвешенное значение по 4 позициям с повышенным значением y^+ . Получено $y^+ = 10.03 (\pm 0.30)\%$, из чего следует и “консервативный” результат для $Y_p \geq 26.49 (\pm 0.78)\%$, и далее – $Y_p \geq 24.93\%$ и $N_{\text{eff}} \geq 3.07$.

Таким образом, полученные оценки указывают на возможность превышения над стан-

дартным значением Y_p и, как следствие, на возможность существования неизвестных легких релятивистских частиц во время первичного нуклеосинтеза. Поскольку результат в позиции OriN14b оказался необычно высоким и жестко его дальнейшее уточнение, то, по нашему мнению, на данном этапе нужно учитывать и консервативную оценку. Поэтому, пока основной вывод заключается в том, что максимальное значение y^+ находится в диапазоне 10.03–11.55%, означая, что Y_p может быть не меньше интервала 24.93–29.40%.

Работа по уточнению полученного результата (оценка максимального содержания гелия в Орионе А и уменьшение интервала его значений) будет продолжена.

2. Чтобы оценить вклад дважды ионизированного гелия, были проведены наблюдения РРЛ $\text{He}^{+103\alpha}$ в направлении центра Ориона А и планетарной туманности NGC7027. В Орионе А РРЛ $\text{He}^{+103\alpha}$ не видна в излучении с верхним пределом $n(\text{He}^{++})/n(\text{H}^+) < 6.9 \times 10^{-4}$. Это согласуется с оптическими данными и почти на порядок лучше предыдущего предела по РРЛ, к тому же получено на более высокой радиочастоте. Отметим, что, возможно, РРЛ $\text{He}^{+103\alpha}$ в Орионе А видна в поглощении.

В планетарной туманности NGC7027 РРЛ $\text{He}^{+103\alpha}$ была зарегистрирована, откуда следует $n(\text{He}^{++})/n(\text{H}^+) \approx 2.7 (\pm 1.3)\%$, что вполне согласуется с оценками, имеющимися в литературе.

3. В Орионе А получена электронная температура в позиции OriN14b и скорректирована для позиции Ori N13. Эти новые данные подтверждают прежний вывод [18], что T_e уменьшается от центра туманности к периферии.

Для NGC 7027 получены значения $T_e(\text{LTE}) = 12490 (\pm 2290)$ К и $T_e \approx 11\,900\text{--}12\,300$ К (последние с учетом отклонения от LTE), которые хорошо согласуются с предыдущими оценками [46, 47, 49]. В этой планетарной туманности T_e заметно выше, чем в областях HII.

БЛАГОДАРНОСТИ

Авторы благодарны Г.Т. Смирнову, который читал статью и сделал полезные замечания. Особенно благодарны ему за проверку и подтверждение правильности формулы 7.

СПИСОК ЛИТЕРАТУРЫ

1. Р.Л. Сороченко, М.А. Гордон, *Рекомбинационные радиолинии. Физика и астрономия* (М.: Физ-матлит, 2003).
2. R. L. Sorochenko and A. P. Tsivilev, Kinemat. Phys. Celestial Bodies **26**, 162 (2010).
3. А.П. Цивилев, Астрон. журн. **70**, 72 (1993).
4. А.М. Поляков, А.П. Цивилев, Письма в Астрон. журн. **33**, 39 (2007).
5. F. R. S. Hoyle and R. J. Teyler, Nature **203**, 1108 (1964).
6. Г.В. Кладор-Клайнгроххаус, К. Цюбер, *Астрофизика элементарных частиц* (М.: УФН, 2000).
7. A. Coc and E. Vangioni, Int. J. Mod. Phys. E, **26**, 08 (2017).
8. J. Yang, M. S. Turner, G. Steigman, D. N. Schramm, and K. A. Olive, Astrophys. J. **281**, 493 (1984).
9. Y. I. Izotov, T. X. Thuan, and N. G. Guseva, Monthly Not. Roy. Astron. Soc. **445**, 778 (2014).
10. А.П. Цивилев, Письма в Астрон. журн. **35**, 745 (2009).
11. А.П. Цивилев, С.Ю. Парфенов, А.М. Соболев, В.В. Краснов, Письма в Астрон. журн. **39**, 912 (2013).
12. T. Hsyu, R. J. Cooke, J. X. Prochaska, and M. Bolte, Astrophys. J. **896**, 77 (2020).
13. E. Aver, D. A. Berg, K. A. Olive, R. W. Pogge, J. J. Salzer, and E. D. Skillman, JCAP **03**, 027 (2021).
14. M. Valerdi, A. Peimbert, and M. Peimbert, Monthly Not. Roy. Astron. Soc. **505**, 3624 (2021).
15. O. A. Kurichin, P. A. Kislytsyn, V. V. Klimenko, S. A. Balashov, and A. V. Ivanchik, Monthly Not. Roy. Astron. Soc. **502**, 3045 (2021).
16. A. P. Serebrov, V. G. Ivochkin, R. M. Samoilov, et al., JETP Letters **109**, 213 (2019).
17. S. Poppi, A. P. Tsivilev, S. Cortiglioni, G. G. C. Palumbo, and R. L. Sorochenko, Astron. and Astrophys. **464**, 995 (2007).
18. А.П. Цивилев, В.В. Краснов, С.В. Логвиненко, Письма в Астрон. журн. **45**, 24 (2019).
19. С.Т. Hua and R. Louise, Astron. Astrophys. Supp. Ser. **88**, 477 (1982).
20. T. L. Wilson and T. Pauls, Astron. and Astrophys. **138**, 225 (1984).
21. Р.Л. Сороченко, И.И. Берулес, А.В. Гусев, Е.Е. Лехт, Л.М. Нагорных, Г.Т. Смирнов, Тр. Физ. ин-та им. П.Н. Лебедева **159**, 53 (1985).
22. А.П. Цивилев, Диссерт. на соискание звания к. ф.-м. н. (М.: ФИАН, 1998).
23. Г.Т. Смирнов, А.П. Цивилев, Астрон. журн. **59**, 1020 (1982).
24. Л.Д. Бахрах, М.И. Григорьева, Р.Л. Сороченко, Изв. вузов. Радиофизика **19**, 1614 (1976).
25. A. P. Tsivilev, S. Yu. Parfenov, and V. V. Krasnov, Odessa Astron. Publ. **29**, 163 (2016).
26. E. J. Chaisson and M. A. Dopita, Astron. Astrophys. **56**, 385 (1977).
27. J. A. Baldwin, G. J. Ferland, P. G. Martin, M. R. Corbin, S. A. Cota, B. M. Peterson, and A. Slettebak, Astrophys. J. **374**, 580 (1991).
28. Y. I. Izotov and T. X. Thuan, Astrophys. J. **710**, L67 (2010).
29. B. E. J. Pagel, Phys. Rep. **333–334**, 433 (2000).
30. I. O. Koshmak and B. Ya. Melekh, Advances in Astronomy and Space Physics **8**, 16 (2018).

31. *K. Verma, K. Raodeo, S. Basu, A. V. Silva, A. Mazumdar, J. R. Mosumgaard, M. N. Lund, and P. Ranadive*, Monthly Not. Roy. Astron. Soc. **483**, 4678 (2019).
32. *Л. Б. Окунь*, УФН **50**, 380 (2007).
33. *С. И. Блинников, М. Ю. Хлопов*, Астрон. журн. **27**, 371 (1983).
34. *R. J. Cooke, M. Fumagalli*, Nature Astronomy **2**, 957 (2018).
35. *P. Jakobsen, A. Boksenberg, J. M Deharveng, P. Greefield, R. Jedrzejewski, and F. Paresce*, Nature **370**, 35 (1994).
36. *R. D. Cherman*, Astrophys. J. **256**, 379 (1982).
37. *Y. Gong, C. Henkel, S. Thorwirth, S. Spezzano, K. M. Menten, C. M. Walmsley, F. Wyrowski, R. Q. Mao, and B. Klein*, Astron. and Astrophys. **581**, A48 (2015).
38. *D. G. Hummer, P. J. Storey*, Monthly Not. Roy. Astron. Soc. **254**, 277 (1992).
39. *M. Peimbert, N. Ukita, and T. Hasegawa*, Publ. Astron. Soc. Japan **40**, 581 (1988).
40. *M. Peimbert, S. Torres-Peimbert*, Monthly Not. Roy. Astron. Soc. **179**, 217 (1977).
41. *M. A. Gordon*, Astrophys. J. **337**, 782 (1989).
42. *F. J. Lockman, R. L. Brown*, Astrophys. J. **259**, 595 (1982).
43. *V. Pankonin, C. M. Walmsley, C. Thum*, Astron. and Astrophys. **89**, 173 (1980).
44. *P. Peimbert, D. W. Goldsmith*, Astron. and Astrophys. **19**, 398 (1972).
45. *P. Palmer, B. Zuckerman, H. Penfield, A. E. Lilley*, Astrophys. J. **156**, 887 (1969).
46. *C. M. Walmsley, E. Churchwell, Y. Terzian*, Astron. and Astrophys. **96**, 278 (1981).
47. *E. J. Chaisson, M. A. Malkan*, Astrophys. J. **210**, 108 (1976).
48. *G. T. Smirnov, R. L. Sorochenko, V. Pankonin*, Astron. and Astrophys. **135**, 116 (1984).
49. *А. А. Ерилов, И. И. Берулис*, Письма в Астрон. журн. **15**, 413 (1989).